

Československá společnost pro mechaniku při ČSAV

# KOMPOZITNÍ MATERIÁLY

Texty přednášek ze semináře "Kompozitní materiály", pořádaného ČSSM ve spolupráci s pobočkami  
CVTS ÚTAM a UT ve dnech 19. 2. a 19. 3. 1981

Pod vědeckou redakcí akademika J. Němců

Vydala  
Československá společnost pro mechaniku při ČSAV  
Praga, červen 1981

## KOMPOZITNÍ MATERIÁLY GRANULOVANÉHO TYPU

Richard A. Bareš

Zopakujme si nejdříve některá základní fakta, o kterých jsem se zmínil ve své úvodní přednášce.

Až do nedávné doby byly kompozity považovány za prostou kombinaci dvou nebo více materiálů; ve skutečnosti každá kombinace má své odlišné vlastnosti, radikálně odlišné od vlastností složek samotných.

Kompozity jsme definovali jako materiálový systém, který je složen z více fází, z nichž alespoň jedna je pevná, s makroskopicky rozpoznatelným rozhraním.

Konstatovali jsme, že studium těchto materiálů musí být interdisciplinární a že pro různé typy kompozitů platí stejně základní principy, existuje jistá podobnost a že výrazný pokrok může přinést jen syntéza dosavadních roztržitelných poznatků z různých oborů a vědních disciplín o různých jednotlivých materiálech.

Nalezli jsme, že základní rysy těchto materiálů, tj. jejich struktura a přítomnost vnitřního povrchu, vnitřních mezičlárových rozhraní a interakce s okolním prostředím, jsou spolu hlavními faktory určujícími jejich vlastnosti.

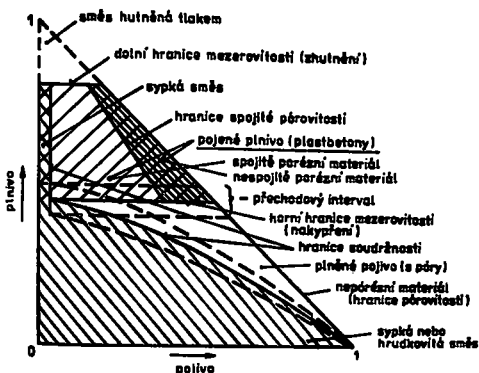
Klasifikovali jsme kompozity do tří základních typů (viz obr. 2 "Určidění a definice..."):  
kompozity I., typu složené 1. z matrix a  
2. dispergované fáze (nebo fázi) v rozptýleném (segregovaném) uspořádání,  
kompozity II., typu složené 1. z matrix,  
2. dispergované fáze (nebo fázi) v hutném (agregovaném) uspořádání  
a  
3. dispergované třetí, tekuté fáze, jež zapíráuje uzavřené, s vnějším prostředím nekomunikovatelné, porý přítomné v systému,  
kompozity III., typu, které se od II. typu odlišují tím, že tekutá fáze vytváří vlastní spojity infrastrukturní systém, že tedy i porovitost systému je spojitá, spojená s vnějším prostředím.

Ukázali jsme si jednoduché klasifikační schéma (viz tab. 1 "Určidění a definice ..."). Podrobněji ukazuje rozšíření kompozitů schéma na obr. 3.

Ing. Richard A. Bareš, CSc., ÚTAM ČSAV,  
Vyšehradská 49, 128 49 Praha 2

Podíváme se nyní ještě jednou, jak jsou zhruba, v celé škále kompozitů, zastoupeny jednotlivé typy, na příkladu jednotkového objemu vytvořeného ze dvou tuhých fází, bere-li se ovšem v úvahu i reálná možnost existence systémů (obr. 1). Vidíme například, že systémy I. typu jsou soustředěny pouze na části diagonální, že systémy II. typu zaujmají menší část plochy a největší zastoupení mají systémy III. typu.

Podíváme-li se na objem prováděných prací v teorii kompozitů, můžeme konstatovat, že neopak největší úsilí bylo věnováno objasňování chování systémů I. typu. A tedy největší část kompozitů zde ještě v podstatě neprozkeumána.



Obr. 1 - Granulární kompozitní systémy (jednotka objemu)

Důvodem je, že tvar dispergované fáze přináší do kompozitního systému anisotropii vlastností, kterou lze sice považovat za klasifikační stupeň 2. řádu, ale která, je-li dostatečně výrazná, může překrýt i vliv základních faktorů, na nichž vlastnosti kompozitu závisí.

Býlo zde minule několikrát zdůrazněno, že inženýr v budoucnu bude muset navrhovat konstrukci současně s materiálovou kompozicí, bude-li chtít dodržet základní požadavek budoucnosti, navrhnut konstrukci energeticky nejúspornější. Byl tu uveden též jeden příklad vytváření tzv. hybridního kompozitu zesílení přírub válcovaného ocelového nosníku kompozitním materiélem. Chtěl bych na tomto příkladu naznačit, jak takový společný účinek konstrukce a materiálu by měl v budoucnu vypadat. Přirozeně, že cílem nemůže být pouhé zesílení přírub válcovaného nosníku kompozitem, i když to může být někdy výhodnější než například prosté přivezení ocelové pásnice. Jak by tedy měl budoucí konstruktér postupovat?

Vydejme z velikosti napětí, nebo lépe přetvoření, po délce i výšce elementu: je jasné, že není třeba dimenzovat krajní části nosníku stejně jako střední; je jasné, že největší tahová a tlaková napětí budou v krajních vláknach nosníku; je jasné, že smyky budou namáhaný nejvíce okrajové části a že největší smyk bude protědél výšky; jsou též jasné směry a hodnoty hlavních napětí. Zásedou je vytvořit prvek, u něhož by pokud možno byly namáhaný všechny části stejně, jinými slovy bylo využíváno stejnoměrné do systému vložené energie.

Pro taženou okrajovou část použijeme zřejmě vláknitého kompozitu, s průběžnými vlákny, orientovanými ve směru působení napětí, s vlákny pevnými a s relativně měkkou matrix (k utlumení případné poruchy některého vlákna), s malou soudržností vláken a matrix, jež přináší malou příčnou pevnost a tím účinné zneškodnění trhlin, které se stočí podél mezipovrchu a nijak neovlivní podélnou pevnost. V tlacené části bychom použili kompozit s partikulárním plnivem, druhého nebo třetího typu, s tuhou vlastní kostrou plniva. Při použití vláknitého kompozitu musela byt vlákna maximálně tuhá a stýčný povrch mezi vlákny a matrix by měl mít vysokou tahovou pevnost, aby se zabránilo rozštípnutí (delaminaci). Mezi přírubami by stáčel materiál i s relativně malou pevností a malou hmotností, případně využitelný ve směru hlavních napětí diagonálně, tak jako například příčná konstrukce nebo železobetonový nosník. Ve středu výšky by byla stěna nejtlustší (jak s ohledem na smyk, tak na stabilitu stěny) a zabránění vyboulení horní příruby by

Na diagonále leží ovšem i takové kompozity, jako jsou lamináty, nebo vláknový využitelné kompozity v nejširším pojetí, u nichž se uplatňuje výrazný, nebo až rozhodujícím způsobem vliv geometrického uspořádání dispergované fáze - vláken, i když z hlediska stavby kompozitů obecně je geometrie až podružnou charakteristikou.

mohlo být realizováno zakotvením horní pásnice do stěny prostřednictvím diagonální výztuže ve stěně. To je základ. Nyní přichází do úvahy speciální požadavky: například odolnost únavě se ovlivní volbou poměru vlastnosti matrix a vláken nebo partikulárního plniva. Odolnost zvýšeným teplotám se dosáhne použitím vláken s vyšším bodem muknatí (například bor, grafit, kremikity, karbid proti sklu). Odolnost chemickým vlivům se zajistí vhodnou volbou matrix, tenkým ochranným pláštěm atd., atd.

Ale vražme se k vlastnímu tématu, partikulárním kompozitním materiálům (granulárním). O partikulárních kompozitech I. typu, tedy o systémech matrix s rozptýleným, segregovaným, neboli dispergovaným plnivem, podrobil hovořili prof. Veselý a Ing. Hugo. Nyní si většinou některých vlastností partikulárních kompozitů II. a III. typu, tedy těch, ve kterých plnivo je agregováno, neboli dispergovaná fáze vytváří agregovanou infrastrukturu.

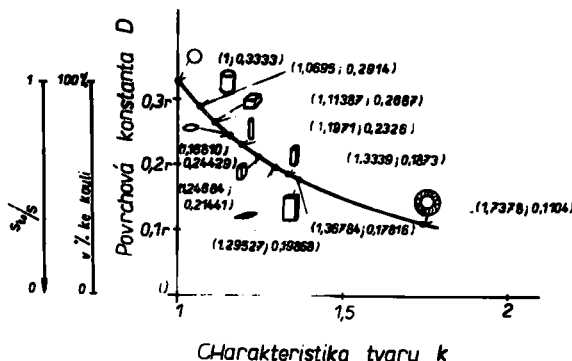
Typickým představiteli takových materiálů je například cementový beton nebo plastbeton, tj. soustava, v níž matrix je vytvořena syntetickou, obvykle termosetickou pryskyřicí a dispergovaná fáze je obvykle anorganického původu.

V takových systémech prvním ovlivňujícím parametrem je geometrická formulace a uspořádání plniva, jež ovlivnuje hustotu dispergované fáze a tedy i její mezerovitost. Souvislý skelet plniva lze vytvořit s různou mezerovitostí; dobré granulované a zhrubaň směsi, složené z několika frakcí mají mezerovitost pod 20, ale i pod 10-6 % celkového zaujatého objemu, zatímco směsi plniva až 55 %. Poznamenejme jako teoretický model, že objem mezer přesně odpovídá zaplněnému stojnými koulami (nezávisle na průměru) mělké kolisť podle geometrického uspořádání koulí od 26 do 47,6 % (při náhodném uspořádání kolem 39 %). U systému z kuličí dvojitého průměru (když menší koule mají takový průměr, aby se vešly do mezer koulí větších) lze dosáhnout minimální mezerovitosti 9,3 %. Obdobně lze zmenšit mezerovitost u systému kuličí trojitého průměru. Z tohoto modelu vyplývají i zásady volby granulometrie připravovaných směsí, ze značného nepravidelného tvaru. Skutečností je, že nejvýše snížení mezerovitosti se nedosáhne skládánou směsí podle různých tzv. ideálních křivek zrnitosti, ale skládáním z různých poměrně úzkých frakcí a podle tzv. přetížitých křivek zrnitosti, přičemž přetížka musí být tak veliká, aby zajistila, že menší zrna (zrna menší frakce) se vejdu do mezer frakce s větším zrnem a že je mohou svou přítomností roztlačovat.

Čím menší je mezerovitost, tím menší množství pojiva (matrix) je nezbytné k zaplnění zbyvajících mezer, a tím ekonomičtější bude výsledný materiál. Matrix však nejen zapíná volné prostory, ale též obaluje jednotlivá zrna slabou bláhou, ježíž tloušťka závisí na vlastnostech matrix a stykovém napětí obou fazí. Pohybuje se obvykle kolem 0,005 - 0,2 mm. Tím je množství potřebné matrix vžádano též na specifický povrch plniva, což znamená závislost nejen na velikosti jednotlivých zrn, ale i na jejich tvaru a jakosti povrchu. Jak se sníží specifický povrch zrn podle jejich tvaru ukazuje například obrázek 2. Je zřejmé, že nejvhodnější zrna budou z tohoto hlediska ta, která mají nejnizší povrch; požadavek dokonalé spolupráce zrn s matrix vyhluje dobrou soudržnost, což může na druhé straně vyžadovat zvýšení specifického povrchu, zejména jednou o soudržnost realizovanou pouze adhesí. Matrix přináší kompozitu řadu žádánych vlastností, avšak na druhé straně vnáší do něj i některé své nevitandí vlastnosti (například v případě polymerní matrix velká polymeratna smrštění, velký součinitel teplotního rotačnosti, velký creep, malou odolnost zvýšeným teplotám atd.). Řešení přináší kombinace kompozitních typů: v kompozitu II. nebo III. typu lze použít namísto čisté matrix kompozitní systém I. typu, tedy matrix plněnou dispergovaným mikropnívem; to výrazně zlepší nevýhody ohřeve uvedené, neovlivní neprůzimí výslednou pevnost a ostatní vlastnosti kompozitu a ušetří relativně drahou matrix. Musí být dánou pouze toho, aby velikost zrn mikropnívu zůstala pod max. 1/3 průměrné tloušťky obalových vrstev větších zrn; jinak se může stát naopak součástí, jež systém nakypuje a vlastnosti zhoršuje (obr. 3).

Praktickým požadavkem na kompozitní systém je obvykle jeho nepropustnost, tříliž zajistění, aby jeho porovitost byla nespojitá, což je charakteristika kompozitu II. typu. Uspora pojiva a zlepšení vnitřní napjatosti jsou na druhé straně důvody pro návrh systému s maximální možnou porovitostí, takže optimem je zřejmě systém těsně pod hranicí mezi II. a III. typem.

Dokonalá skladba a geometrie plniva vede k tomu, že množství matrix k dosažení tohoto stavu je značně nízké, např. 1/5 - 1/7 objemu plniva. To ovšem může vést k tomu, že - měli matrix v nezaloženém stavu vyšší viskozitu, je směs špatně zpracovatelná a nedokonalest zpracování může znehodnotit přímesy a kladly dokonalé skladby plniva a celé směsi. Proto dalším nezbytným po-



Obr. 2 - Změna povrchové konstanty  $D = \frac{V}{r}$  pro různé typy zrn specifikované povrchovou charakteristikou  $k = \frac{V_0}{r}$ , kde  $V_0$  je objem a povrch zrna,  $r$  je poloměr fiktivní koule stejného povrchu jako uvažované zrno a  $r$  je poloměr srovnávací koule o objemu stejném jako uvažované zrno

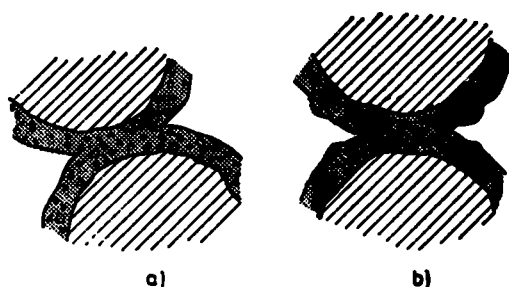
rozhraní obou fází, na němž též dochází k prvním mikroporuchám systému. Každé zvětšení součinnosti plniva a pojiva tak podstatně ovlivní pevnost systému, stejně jako hraje významnou roli přetrvávnost styku. Umístění styk poctáčení zrn v matrix svými reologickými nebo pružnými vlastnostmi, zvyší se významně disipace energie v systému, a tím například jeho pevnost a houževnatost. Na pevnostních vlastnostech matrix, samozřejmě v jistých mezech, v podstatě nezáleží na rozdíl od kompozitů I. typu, kde tomu je naopak.

Protože k vytváření nového pojivu dochází obvykle exoterické reakci, provázenou téměř vždy objemovým smrštěním, vznikají v závislosti na rychlosti vedení reakce, objemu tělesa, podmínkách okolního prostředí atd. složité stavby primárního (následků fiktivního) napětí, jež jsou kombinací napětí od smrštění při tvrdnutí a účinků napětí od teplotních změn během polymerace v důsledku nestejných součinitelů teplotní roztažnosti složek.

Řada charakteristik kompozitu, jako pružnost, součinitel teplot-

žadavkem je dokonale smíšení a zpracování směsi k dosažení jednak homogenity složení, jednak co nejtěsnějšího uspořádání plniva.

Pevnost a houževnatost systémů těchto typů jsou závislé jak na těchto vlastnostech fází, tak na řadě dalších činitelů, dáných kompozitním působením. Při nestejných modulech obou fází (tedy nestejné deformabilitě) dochází k nestojněměrnému rozdělování napětí soustředováním do míst méně stlačitelných a tím ke vzniku příčních tahů. Kritické je



Obr. 3 - Směs pojiva a mikroplniva mezi zrny štěrkopísku  
a) vhodná velikost zrn mikroplniva  
b) nevhodná velikost

ní roztažnosti, dielektrická konstanta a do jisté míry i pevnost lze poměrně přesně stanovit z vhodné kombinace stojících nebo příbuzných charakteristik složek podle jejich objemového za-stoupení v systému při použití vhodného strukturního a korespondenčního modelu. Pokud je nám známo, zatím nejvíce se přiblížil ke skutečnosti a dává nejlepší shodu model Nevrátila při opakování použití vztahů Hirsch-Dougill-Nevrátil. Ale o tom blíže až následky jindy.

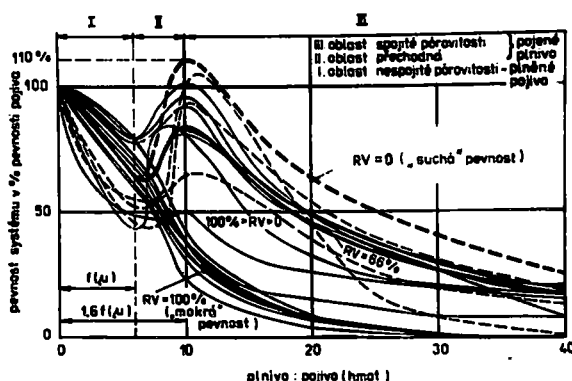
Pro objektivní hodnocení materiálu (libovolného stáří a historie) je třeba navíc nalézt a definovat vztah vycházející z energetického hodnocení systému. Tomu by mohla vyhovovat např. tzv. elastance ( ), čímž je měrná schopnost materiálu být pružným v libovolném stadiu své existence: tato schopnost je postupně ztrácena, vyčerpávána opakovaným namáháním (epakovaným nebo dlohočasovým zatížením, teplostou, vlnkostí apod.). Elastanci by bylo možno z tohoto hlediska chápat jako základní kvalitativní charakteristiku pružnosti.

Pro kvantitativní popis elastance materiálu navrhl autor novou materiálovou konstantu, nazvanou absorbní pružnost, jež je funkci složení materiálu  $M$  a jeho historie  $H$ , zahrnující vliv času, teploty, smrku a způsobu zatištění, vnitřní napjatostí atd., tj.

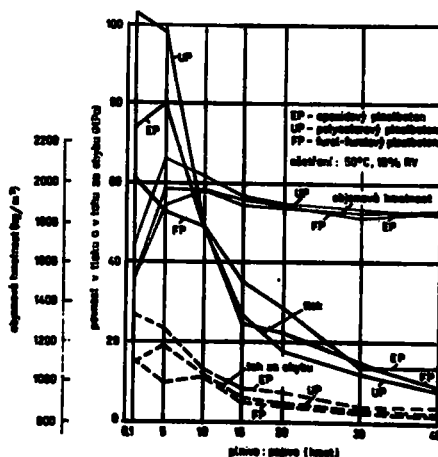
$$A = f(M, N),$$

Každému definovanému materiálu náleží tedy jediný absorbent pružnosti. Změna absorventu pružnosti během přetváření je nejdříve úměrná změně vydané (ztracené) energie. Jeho maximální hodnota odpovídá celkové energii porušení (destruktivní či dehnací energii) v teoreticky ideálním materiálu. Přetvořený, porušený (např. vnitřně) nebo jinak unavený materiál má nižší hodnotu absorventu pružnosti. Nulovou hodnotu má materiál plně porušený (>). Protože absorbent pružnosti je funkcí všech konvenčních materiálových charakteristik, může být i základem jejich popisu.

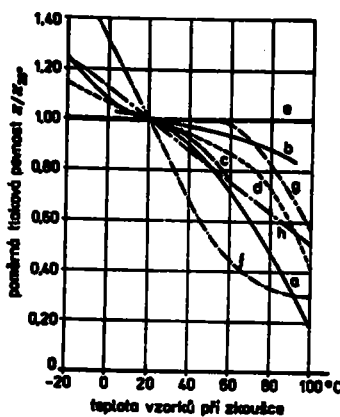
Na několika příkladech ukážíme vlastnosti různých druhů kompozitů (s různou polymerní matricí).



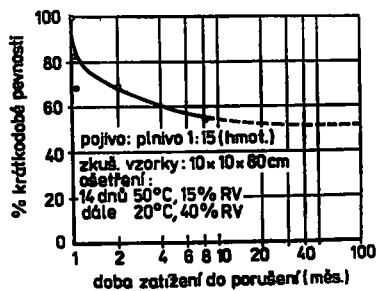
Obr. 4 - Průběh pevnosti furanových systémů podle poměru plniva k aktivnímu pojivu pro různé směsi při různém nasycení systému vodou



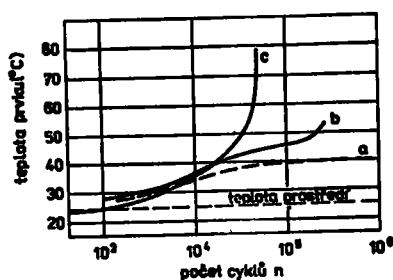
Obr. 5 - Změna objemové hmotnosti, povrchu v tlaku a v tahu za ohýbu různých plastbetonů se změnou jejich sloučenin



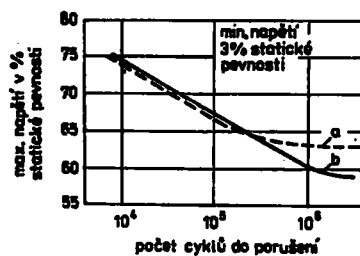
Obr. 6 - Změna povrchu plastbetonů s teplotou a - 9 až 13 % hmot. UP ( 4 ), b - 10 % hmot. MMA ( 5 ), c - 10 až 12 % hmot. UP ( 6 ), d - 9 % hmot. EP (+ amín za normální teploty) ( 7 ), e - 10 % hmot. EP (+ aromatický amín nebo methylanthydrid za tepla) ( 7 ), f - 10 % hmot. EP (+ polyamid za norm. teploty) ( 8 ), g - 10 % hmot. FP ( 3 ), h - 20 % hmot. FP ( 11 ).



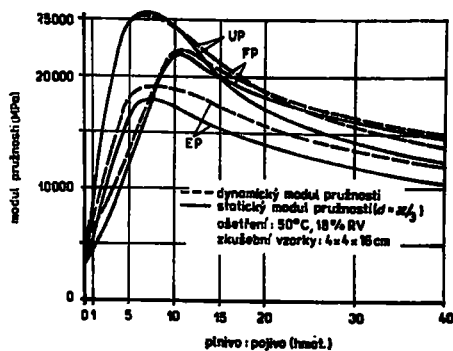
Obr. 7 - Trvalá pevnost (v tahu za ohýbu) furanfuralového plastbetonu



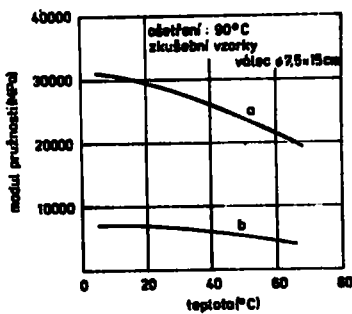
Obr. 8 - Změna teploty vzorku polyesterového plastbetonu s počtem cyklů ( 4 )  
a - max. napětí 52 % statické pevnosti, 200 c/min,  
b - max. napětí 55 % statické pevnosti, 200 c/min,  
c - max. napětí 52 % statické pevnosti, 400 c/min



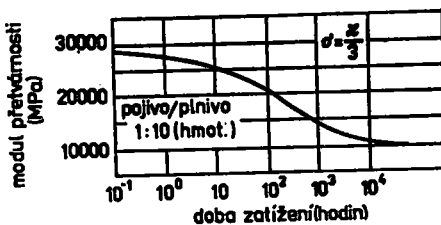
Obr. 9 - Závislost únavové pevnosti na počtu cyklů  
 a - s 1 % silanové příslady,  
 b - bez silanové příslady



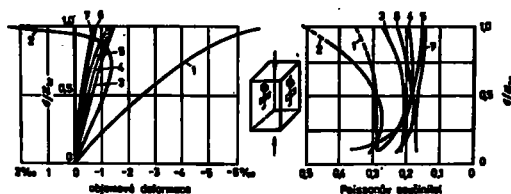
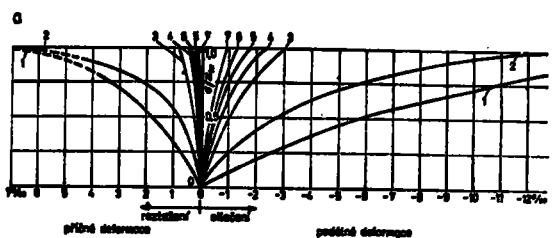
Obr. 10 - Závislost dynamických a statických modulů pružnosti různých plastbetonů na složení směsi



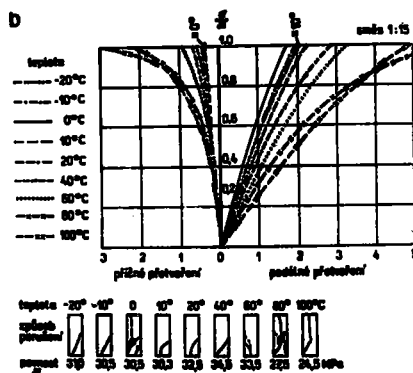
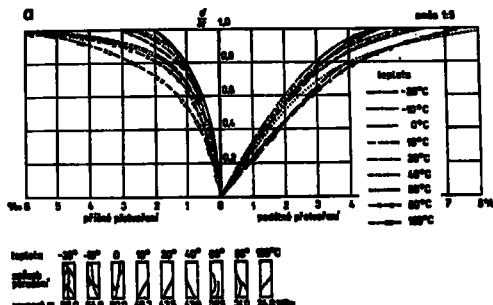
Obr. 11 - Změna modulu pružnosti polyesterového plastbetonu s teplotou  
 a = 10 % (hmot.) UP + štěrkopísek  
 b = 50 % (hmot.) UP + práškový  $\text{CaCO}_3$



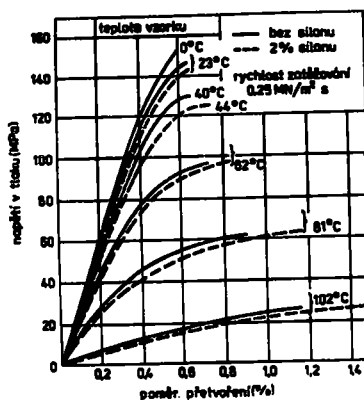
Obr. 12 - Změna modulu pružnosti (přetvárnosti) polyesterového plastbetonu s dobou zatížení



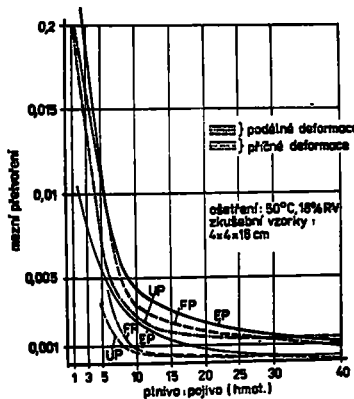
Obr. 13 a a 13 b - Vliv složení plastbetonu na pracovní diagramy a Poissonův součinitel (aktivní pojivo:plnivo 1:1; 1:5; 1:10; 1:15; 1:20; 1:30; 1:40; kmot., četřefná 50 °C, 18 % RV 14 dnů, zkoušební vzorky 4 x 4 x 16 cm)



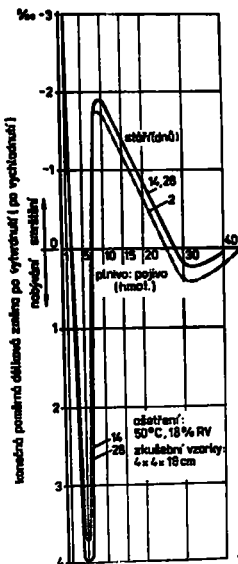
Obr. 14 a a 14 b - Změna pracovních diagramů furol-furaldehydového plastbetonu s teplotou  
 a - směs 1:5 hmot.,  
 b - směs 1:15 hmot.



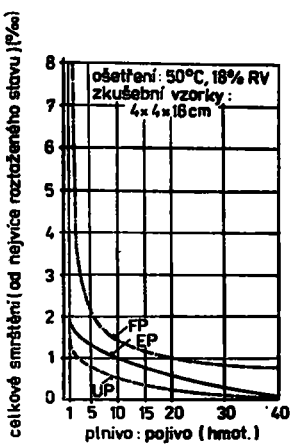
Obr. 15 - Změna pracovních diagramů polyesterového plastbetonu s teplotou



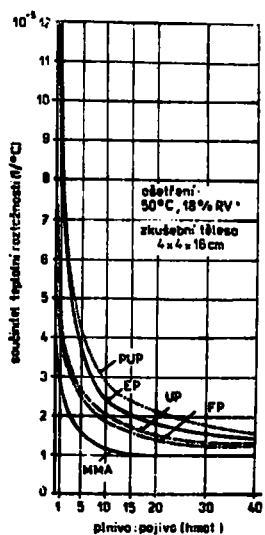
Obr. 16 - Závislost podélného a příčného mezinárního přetvoření v tlaku různých plastbetonů na složení směsi



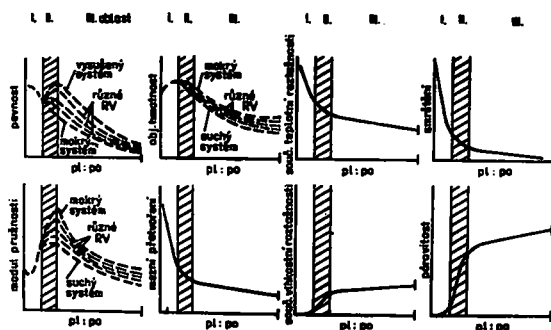
Obr. 17 - Závislost poddlného a příčného mezního přetvoření v tlaku různých plastbetonů na složení směsi



Obr. 18 - Průběh celkových hodnot smrštění (při vytváření za zvýšené teploty) jednotlivých plastbetonů v závislosti na složení směsi

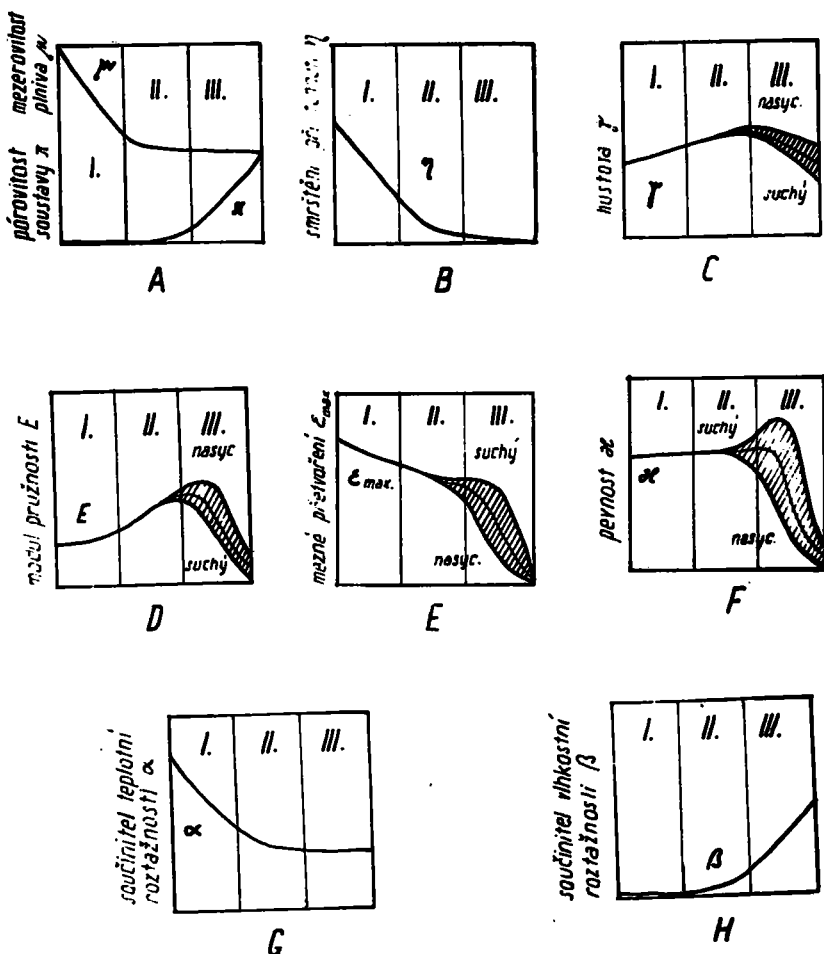


Obr. 19 - Změna součinitele teplotní roztáklosti plastbetonů se složením směsi

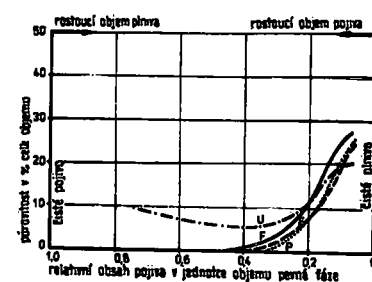
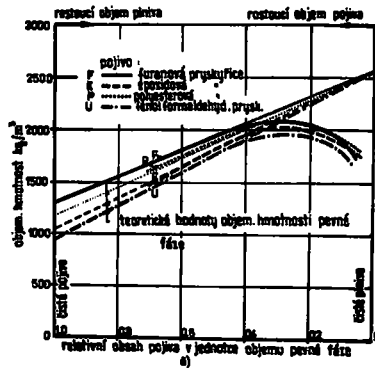


Obr. 20 - Schematické znázornění získaných poznatků o mechanických a fyzičkálních vlastnostech plastbetonů

Schemata na obr. 20 jsou uvedena v současném systému podle hmotových dílů pojiva (matrix) k plínu (dispersované fázi) pro kompozit typu plastbetonu, v němž dispersovaná fáze je křemenný žárovýkopek s objemovou hmotností cca 1500 - 1700 kg/cm<sup>3</sup>. Toto zobrazení bylo zvoleno proto, že při použití objemových poměrů (podílu objemových částí matrix a dispersované fáze v jednotce objemu solidu v kompozitu) se stírá význam II. a zejména III. typu. Při objemovém zobrazení převážnou část diagramu zaujímají systémy I. typu; pro ilustraci je schematický přehled podle obr. 20 uveden znova v objemovém mřížku na obr. 21. Skutečné získané hodnoty pro různé druhy matrix ukazuje ještě obr. 22.

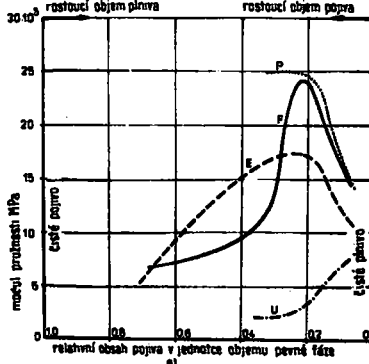


Obr. 21 - Schematické znázornění fyzikálních vlastností kompozitů různého typu

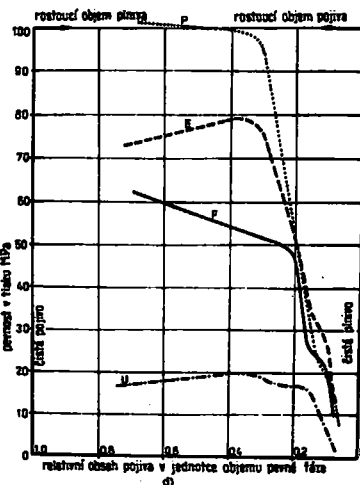
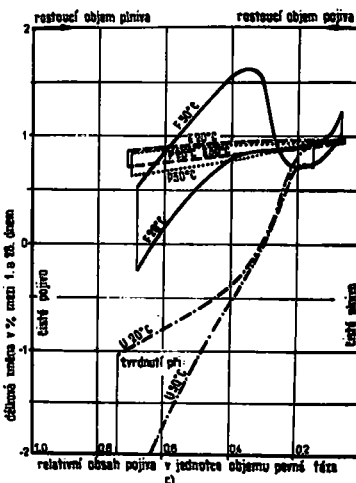


	1/6	1/4	1/3	1/2	2/3	5/6	7/8	9/10	10/10
furan	✓								
epoxid	✓								
polystyrol	✓								
formaldehyd	✓								
tereftaldehyd	✓								
hmotnostní poměr akt. pojiva k plánu	1/6	1/4	1/3	1/2	2/3	5/6	7/8	9/10	10/10

b)



Obr. 22 - Průběh některých fyzikálních vlastností partikulárních kompozitů s makromolekulární matrix podle vzájemného poměru složek



#### LITERATURA

- [1] Bared, R.: Materiály, Učební texty Institutu pro výchovu vedoucích pracovníků chemického průmyslu, ICPH, Praha 1981
- [2] Bared, R., Javornický, J., Nevrátil, J.: Some Basic Features in Mechanics of Inhomogeneous Materials, Proc. of Internat. Conf. on Mech. Behaviour of Materials, Vol. V., s. 42-53, Kyoto, 1972
- [3] Bared, R.: Temperaturbeeinflussung der Elastizität und Festigkeit von Kunststoff-Betonen, Zement-Kalk-Gips, roč. 26, 1973, č. 2
- [4] Kobayashi, K., Ito, T.: Several Physical Properties of Resin Concrete, Polymers in Concrete (Proc. 1. Int. Congress on Polymer Concretes 1975), Lancaster, The Construction Press, 1976
- [5] Kobischak, P.: Synthetic Resin-bound Concrete, Polymers in Concrete (Proc. 1. Int. Congress on Polymer Concretes 1975), Lancaster, The Construction Press, 1976
- [6] Okada, K., Koyanagi, W., Yonezawa, T.: Thermo-dependant Properties of Polyester Resin Concrete (Proc. 1. Int. Congress on Polymer Concretes 1975), Lancaster, The Construction Press, 1976
- [7] Ataynes, B. W.: Epoxide Resin Concrete as a Structural Material (Proc. 1. Int. Congress on Polymer Concretes 1975), Lancaster, The Construction Press, 1976
- [8] Valore, R.C., Neus, D.J.: Resin Bound Aggregate Material Systems, Polymers in Concrete (Proc. 1. Int. Congress on Polymer Concretes 1975), Lancaster, The Construction Press, 1976

## KOMPOZITNÉ MATERIÁLY S KOVOVOU MATRICOU

L. Táborský

Riešenie náročných konštrukčných celkov v modernej strojárskej výrobe vyžaduje nové konštrukčné materiály s podstatne vyššimi fyzikálnymi a mechanickými vlastnosťami, akých dosahujú klasické konštrukčné materiály. Tento problém úspešne riešia zložené materiály spievane vláknomi, ktoré vzhľadom na dobré mechanické vlastnosti našli svoje miesto medzi klasickými materiálmi a ich rozvoj má stúpajúcu tendenciu. Príčina je v tom, že u materiálov spievanych vláknomi teoreticky je možné zvýšiť špecifickú pevnosť a špecifický modul pružnosti v ľahu až pätnásobne v porovnaní s klasickými materiálmi. Uvedené výrazné zvýšenie špecifickej pevnosti a modulu pružnosti umožňujú spievajúce vlákna s kovalentnou väzbou, čo názorne potvrdzujú niektoré hodnoty uvedené v tabuľke.

Materiál	Špecif. hmotnosť $\rho$ [kg/m <sup>3</sup> ]	Modul E [GPa]	E/ $\rho$ . 10 <sup>3</sup> [m <sup>2</sup> s <sup>-2</sup> ]
Al	2700	69,5	27,00
Fe	7800	207,0	26,20
Tl	4500	117,8	27,00
W	19300	411,0	21,30
B	2600	417	160,40
SiC	2990	430	143,80
C	1950	410	210,26
Al <sub>2</sub> O <sub>3</sub>	3300	345	117,0

Z tabuľky je vidieť, že u materiálov s kovovou väzbou nie je možné zvýšiť špecifický modul pružnosti a zvýšenie ich špecifickej pevnosti doteraz používanými spôsobmi ich spracovania nie je výrazné. Na druhej strane materiály s kovalentnou väzbou (druhá časť tabuľky) sú charakterizované nízkou špecifickou hmotnosťou a vysokým modulom pružnosti, čoho výsledkom je vysoký špecifický modul pružnosti (teoreticky až 5-násobne vyšší, ako u materiálov s kovovou väzbou).

Ing. Ladislav Táborský, CSc., ÚMMS SAV,  
Februárového víťazstva 75, 801 00 Bratislava